

ESTUDIO DE LA EFICACIA DE LOS DISPOSITIVOS PRANAN
PARA NEUTRALIZAR LOS EFECTOS NOCIVOS EN EL ORGANISMO
DE LAS RADIACIONES DE BAJA INTENSIDAD
EMITIDAS POR LOS MÓVILES

Mediciones realizadas mediante Bioelectrografía **GDV-EPC**
Sistema **GDV¹-EPC²** del Dr. K. **Korotkov**. Tecnología desarrollada en la
Universidad Estatal de San Petersburgo

Eusebio González Martín
Ingeniero Técnico – Licenciado en Psicología
Investigador en Bioelectrografía autorizado por la **IUMAB*-España**
(*International Union of Medical and Applied Bioelectrography)

1 GDV: Gas Discharge Visualitation
2 EPC: ElectroPhotonic Capture

OBJETIVO DEL ESTUDIO

El objeto de este estudio es comprobar la eficacia de los dispositivos PhiOne y PhiWaves desarrollados y patentados por la Pranan Technologies, destinados a neutralizar el posible efecto negativo que la telefonía móvil ejerce sobre el organismo humano.

Es estudio se realiza con la aplicación simultánea de los dos dispositivos.

MEDICIONES

El Sistema GDV-EPC desarrollado por Dr. Konstantin Korotkov es un sistema que mide el estado del CEH (Campo de Energía Humano) y permite estudiarlo desde el método científico.

En un primer momento se mide el estado bioenergético de un sujeto.

En segundo lugar se mide cómo las radiaciones electromagnéticas de baja intensidad (telefonía móvil) alteran el equilibrio bioenergético del organismo humano.

En tercer lugar se mide la capacidad de los dispositivos pranan (PhiOne y PhiWaves) para neutralizar la alteración provocada en el CEH y el de los meridianos.

Las mediciones GDV-EPC se denominan BioGramas ⁽¹⁾, éstos son el punto de partida de todo el análisis GDV-EPC. El sistema capta la emisión electrofotónica (ElectroPhotonic Capture) que todo ente material emite. En este caso la emisión electrofotónica que emiten las yemas de los dedos (en ellas se encuentran los 49 meridianos bioenergéticos susceptibles de medición). El estudio es de Caso Único. El sistema GDV-EPC genera imágenes para grupos de 10 BioGramas.

HIPÓTESIS

Este estudio trabaja sobre dos hipótesis:

1ª hipótesis: analizar hasta qué punto la telefonía móvil altera negativamente el CEH (Centro Energético Humano) y el sistema de meridianos bioenergéticos.

2ª hipótesis comprobar el grado de eficacia de los dispositivos PhiOne y PhiWaves, desarrollados por Pranan Technologies, para proteger el propio CEH y el sistema de meridianos.

RESULTADOS OBTENIDOS DE LAS MEDICIONES

1. Biogramas GDV-EPC

Figura 01. BioGramas, antes de hablar por el teléfono móvil, móvil SIN DISPOSITIVOS PRANAN

Figura 02. BioGramas, después de hablar por el teléfono móvil, móvil SIN DISPOSITIVOS PRANAN

Las Figuras 01 y 02 muestran los BioGramas del sujeto experimental al que se le sometió a una llamada de teléfono móvil durante 57 minutos pegado al el oído izquierdo (el teléfono móvil se sujetó con una cinta, para evitar la influencia que sobre la mano pudiera provocar el móvil, ya que las mediciones se hacen precisamente en las yemas de los dedos).

Como se puede observar comparando los BioGramas ANTES vs DESPUÉS de la llamada de teléfono, en el caso en que no llevaba los protectores pranan (SIN DISPOSITIVOS PRANAN), Figuras 01 y 02, los BioGramas de la mano izquierda (marcados 1L, 2L, 3L, 4L y 5L) se ven afectados negativamente, es decir, el área del CEH desaparece en algunos sectores (cada órgano se corresponde con dos meridianos).

(1) *Emisión electrofotónica: Alexander Gavrilovich Gurwitsch (1874-1954) fue un biólogo ucraniano que descubrió el biofotón. Demuestra que los sistemas celulares biológicos se comunican entre sí en el rango UV (UltraVioleta), en emisión ultradébil. Es ésta emisión UV lo que capta el sistema GDV-EPC, de ahí las siglas EPC, ElectroPhotonic Capture. Y también de ahí el nombre de "BioGramas", representación gráfica de la Vida. La Vida es sustentada por los electrofotones, también denominados "electrones phi", electrones que tienen asociados un fotón.*

Figura 01. BioGramas, **antes** de hablar por el teléfono móvil, móvil SIN DISPOSITIVOS PRANAN.

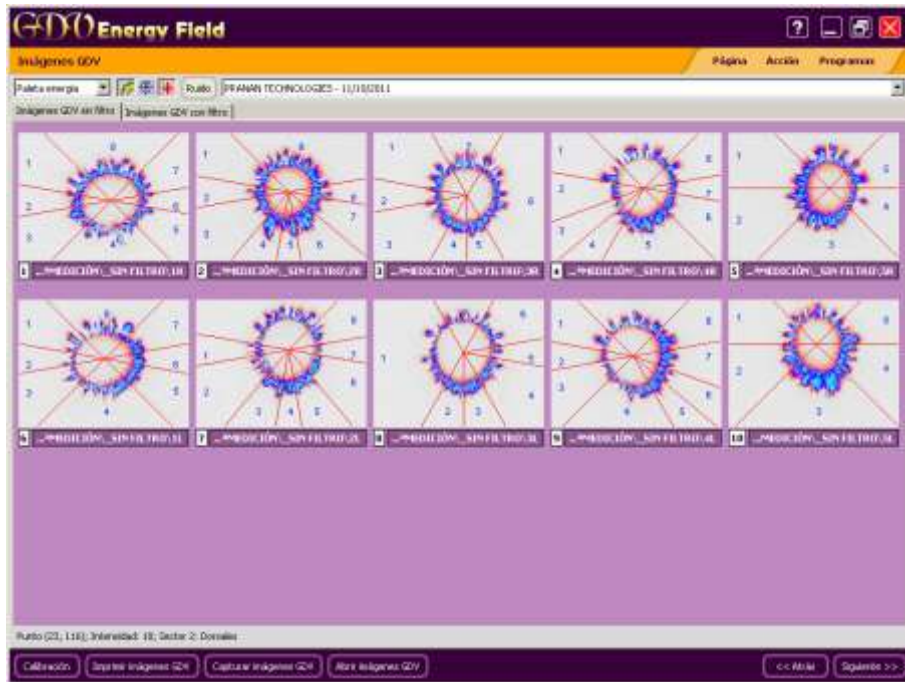


Figura 02. BioGramas, **después** de hablar por el teléfono móvil, móvil SIN DISPOSITIVOS PRANAN.



Figura 03. BioGramas, **antes** de hablar por el teléfono móvil, móvil CON PROTECTORES (PhiOne + PhiWaves).

Figura 04. BioGramas, **después** de hablar por el teléfono móvil, móvil CON PROTECTORES (PhiOne + PhiWaves).

Las Figuras 03 y 04 muestran los BioGramas del mismo sujeto experimental, dos días más tarde. Se decidió dar este tiempo para posibilitar el equilibrio del CEH que había sido desestructurado por la llamada de 57 minutos hablando por el teléfono móvil SIN DISPOSITIVOS PRANAN.

En este caso se le sometió a una llamada de teléfono móvil durante 43 minutos en el oído izquierdo también, se le sujetó el teléfono móvil con una cinta, para evitar la influencia que sobre la mano pudiera provocar el móvil, ya que las mediciones se hacen en las yemas de los dedos, como en las mediciones primeras sin protectores. La diferencia fue que

en esta llamada el móvil tenía colocado el PhiOne (pegado en la parte trasera del móvil) y el sujeto experimental llevaba el PhiWaves en el bolsillo de la camisa.

Como se puede observar comparando los BioGramas ANTES vs DESPUÉS de la llamada de teléfono CON PROTECTORES, los BioGramas de la mano izquierda (marcados 1L, 2L, 3L, 4L y 5L) no se ven afectados negativamente, al contrario mejoran un poco, después veremos que mejoran de manera significativa, cuando el sistema GDV-EPC cuantifique estas mediciones.

Figura 03. BioGramas, antes de hablar por el teléfono móvil, móvil CON PROTECTORES (PhiOne + PhiWaves).



Figura 04. BioGramas, después de hablar por el teléfono móvil, móvil CON PROTECTORES (PhiOne + PhiWaves).



2. Energy Field GDV-EPC

Figura 05. Energy Field, **antes** de hablar por el teléfono móvil, móvil SIN PROTECTORES.

Figura 06. Energy Field, **después** de hablar por el teléfono móvil, móvil SIN PROTECTORES.

Las Figuras 05 y 06 muestran la pantalla Energy Field (Campo de Energía) antes VS después de que sujeto experimental hable por el móvil. Se aprecia claramente una disminución del área en varios meridianos de la parte izquierda, donde se colocó el móvil (oído izquierdo). Estos datos ponen de manifiesto cómo el uso del móvil ha desestructurado en parte el CEH.

Figura 05. Energy Field, **antes** de hablar por el teléfono móvil, móvil SIN PROTECTORES.

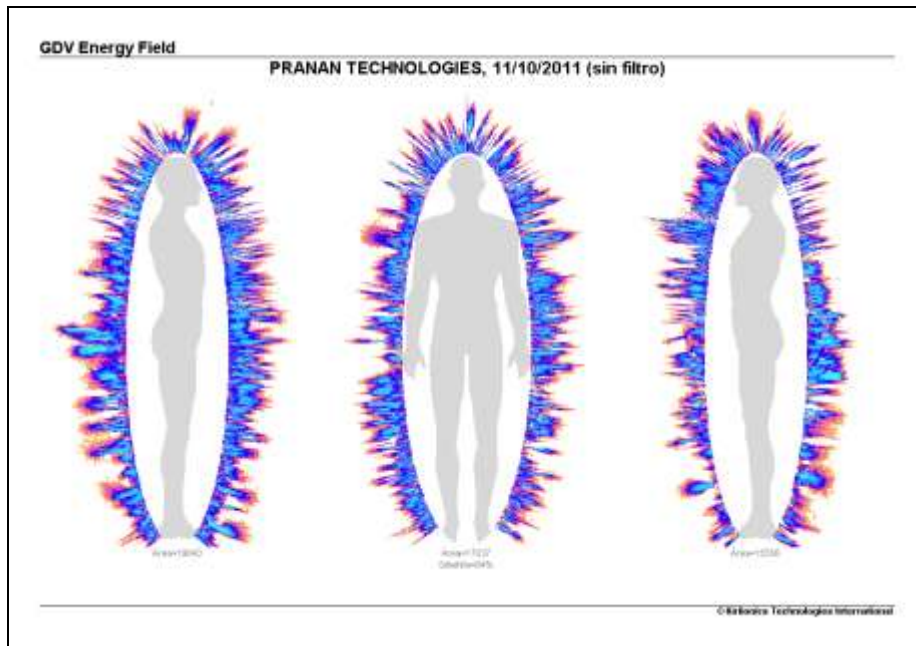


Figura 06. Energy Field, **después** de hablar por el teléfono móvil, móvil SIN PROTECTORES.

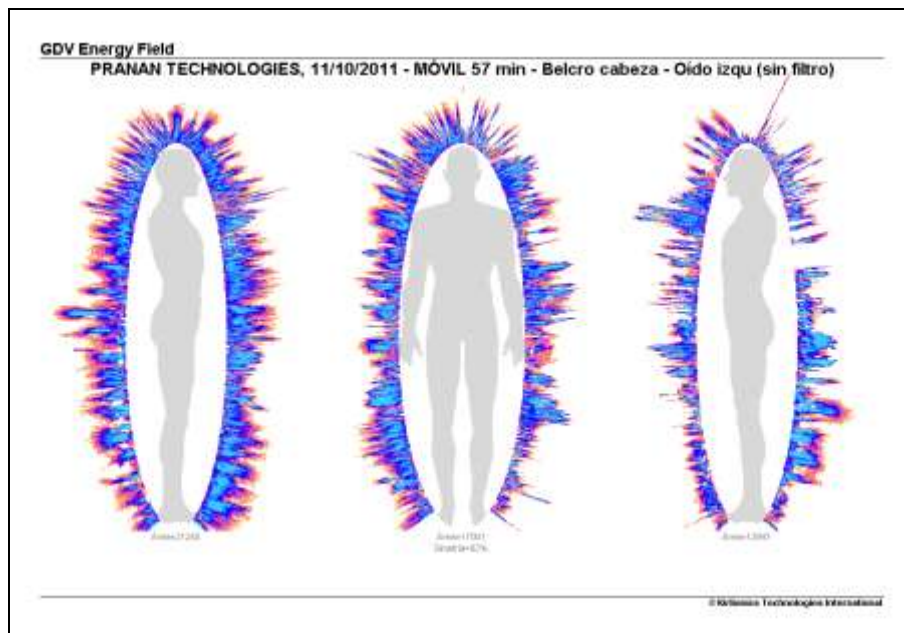


Figura 07. Energy Field, **antes** de hablar por el teléfono móvil, móvil CON PROTECTORES.(PhiOne + PhiWaves)

Figura 08. Energy Field, **después** de hablar por el teléfono móvil, móvil CON PROTECTORES.(PhiOne + PhiWaves)

Las Figuras 07 y 08 muestran la pantalla Energy Field (Campo de Energía) antes VS después de que sujeto experimental hable por el móvil, pero en esta ocasión CON PROTECTORES PhiOne y PhiWaves. Se aprecia claramente un aumento considerable del área en varios meridianos en los meridianos de la parte izquierda, donde se colocó el móvil (oído izquierdo) en esta ocasión con los protectores. Estos datos ponen de manifiesto cómo el uso del móvil CON PROTECTORES PhiOne y PhiWaves no sólo neutraliza el efecto negativo del móvil sino que estructurado en parte el CEH.

Figura 07. Energy Field, **antes** de hablar por el teléfono móvil, móvil CON PROTECTORES.(PhiOne + PhiWaves)

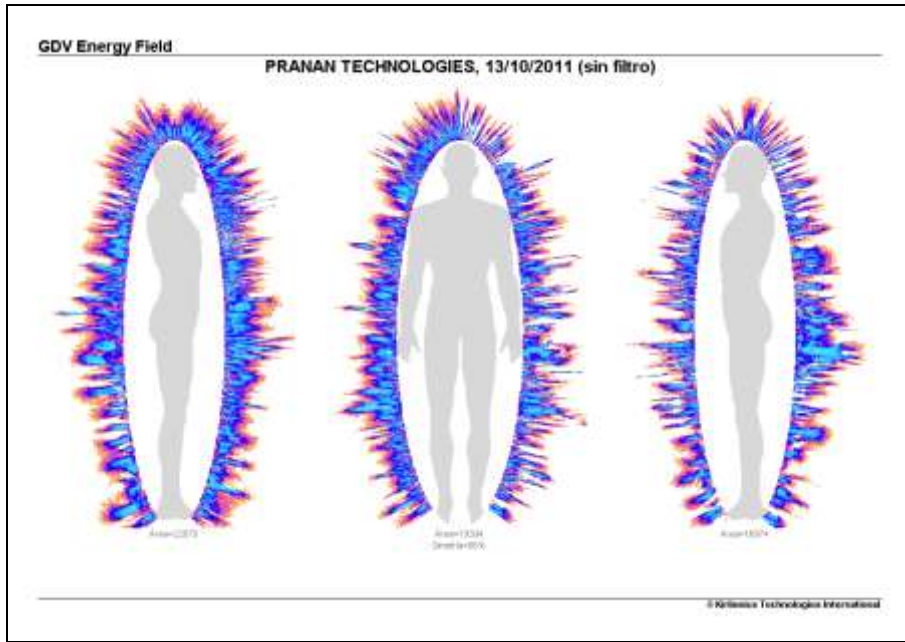
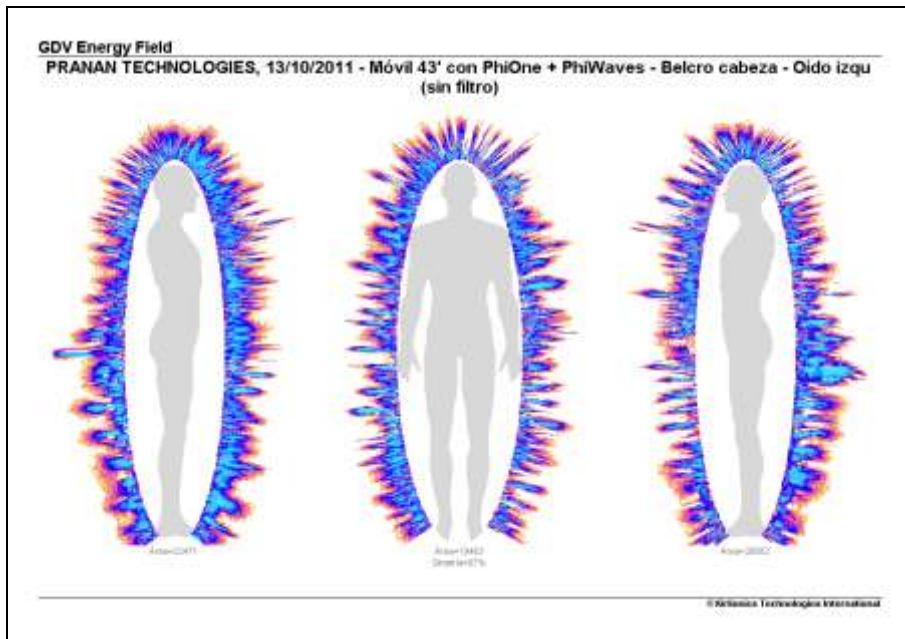


Figura 08. Energy Field, **después** de hablar por el teléfono móvil, móvil CON PROTECTORES.(PhiOne + PhiWaves)



En las siguientes figuras se cuantifica los datos de las Figuras 05 a 08.

Figura 09. Energy Field (Pixels ElectroFotónicos Activos)
Comparativa **antes VS después** de hablar por el teléfono móvil, móvil **SIN PROTECTORES**.

La Figura 09 compara los pixels electrofotónicos activos antes VS después de hablar por el móvil SIN PROTECTORES PhiOne y PhiWaves. Lo más significativo es el decremento que sufren los meridianos del lado izquierdo (por el que se ha hablado con el teléfono) del cuerpo de la persona, su campo de energía disminuye un 16,8%, un valor muy significativo y negativo.

Figura 09

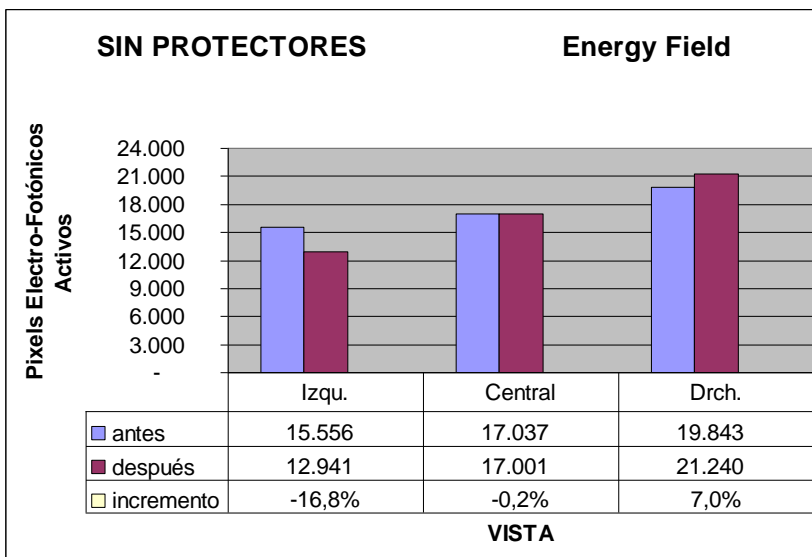


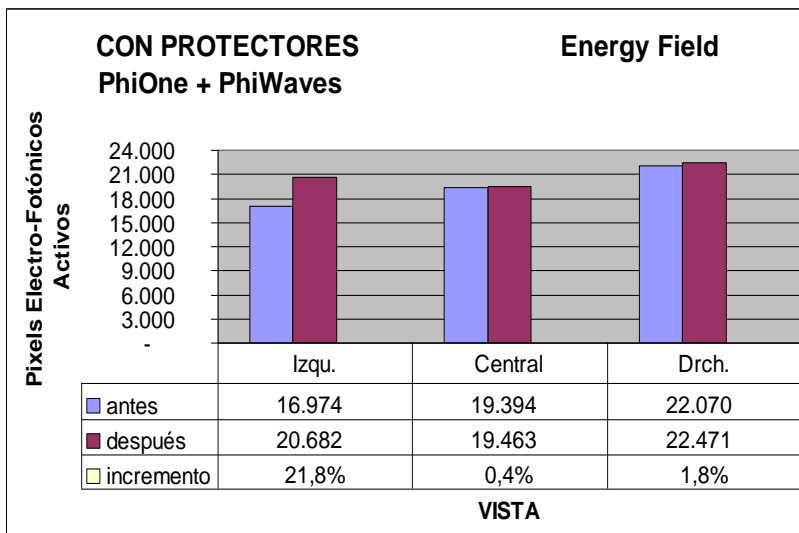
Figura 10. Energy Field (Pixels ElectroFotónicos Activos)
Comparativa **antes VS después** de hablar por el teléfono móvil, móvil **CON PROTECTORES**.

La Figura 10 compara los pixels electrofotónicos activos antes VS después de hablar por el móvil CON PROTECTORES PhiOne y PhiWaves. Lo más significativo es el incremento de los meridianos del lado izquierdo del cuerpo de la persona, su campo de energía aumenta un 21,8%, un valor muy significativo y positivo.

Queda confirmada la información de Pranan Technologies que afirma que:

“... La Tecnología Pranan, no almacena ni filtra la radiación, la transforma a otra frecuencia, longitud de onda e intensidad beneficiosa para el ser humano”.

Figura 10.



3. Diagram GDV-EPC

Figura 11. Diagram, **antes** de hablar por el teléfono móvil, móvil SIN PROTECTORES.

Figura 12. Diagram, **después** de hablar por el teléfono móvil, móvil SIN PROTECTORES.

Las Figuras 11 y 12 muestran la pantalla Diagram antes VS después, SIN PROTECTORES.

Esta pantalla cuantifica la información de los BioGramas dándonos una referencia sobre el equilibrio energético de los principales meridianos que mide el Sistema GDV-EPC. La Zona amarilla indica exceso energético, la zona verde equilibrio y la zona rosa deficiencia energética. Los trazos rojos indican la medida Sin Filtro GDV y los trazos azules las medidas Con Filtro GDV.

En la Figura 12 se aprecia cómo los meridianos de la parte izquierda del cuerpo, donde se colocó el móvil, empeoran de modo significativo. Antes de hablar por el móvil había 2 meridianos en deficiencia (Bazo y Dorsales). Después de hablar por el móvil SIN PROTECTORES hay 13 meridianos en deficiencia (Bazo, Hipotálamo, Epífisis, Sistema Nervioso, Sacro, Lumbares, Dorsales, Cervicales, Riñón Izquierdo, Recto, Colon Sigmoideo, Colon Descendente y Sistema Cardiovascular). Llama la atención, y es "lógico", cómo los meridianos del lado derecho no se ven afectados: antes había un único meridiano en deficiencia y después sigue habiendo un meridiano.

Figura 11. Diagram, **antes** de hablar por el teléfono móvil, móvil SIN PROTECTORES

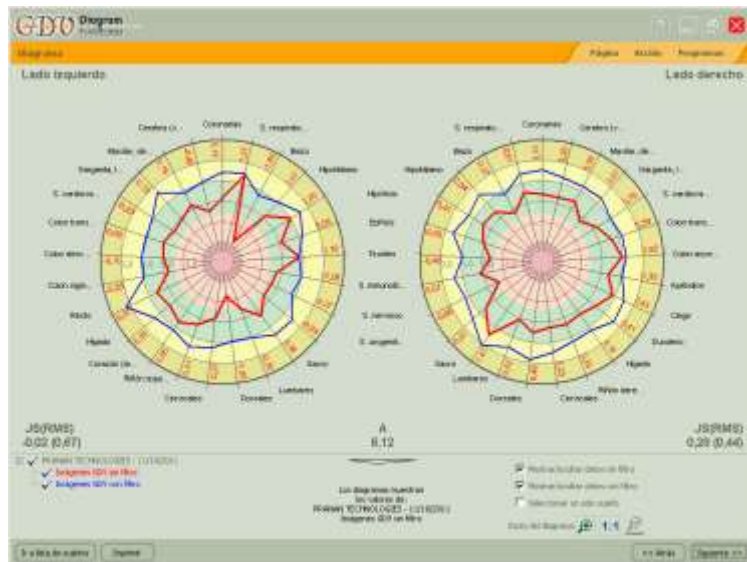


Figura 12. Diagram, **después** de hablar por el teléfono móvil, móvil SIN PROTECTORES

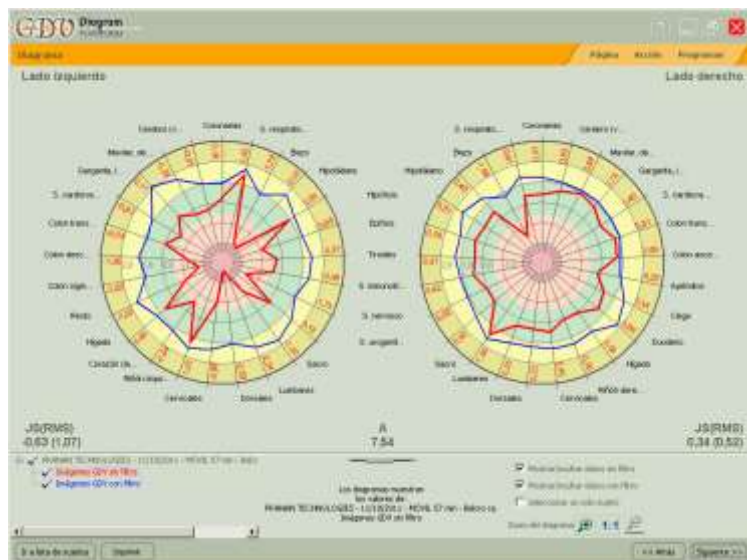


Figura 13. Diagram, **antes** de hablar por el teléfono móvil, móvil CON PROTECTORES (PhiOne + PhiWaves).

Figura 14. Diagram, **después** de hablar por el teléfono móvil, móvil CON PROTECTORES (PhiOne + PhiWaves).

Las Figuras 13 y 14 muestran la pantalla Diagram antes VS después, CON PROTECTORES PhiOne y PhiWaves.

Esta pantalla cuantifica la información de los BioGramas dándonos una referencia sobre el equilibrio energético de los principales meridianos que mide el Sistema GDV-EPC. La Zona amarilla indica exceso energético, la zona verde equilibrio y la zona rosa deficiencia energética. Los trazos rojos indican la medida Sin Filtro y los trazos azules las medidas Con Filtro.

En la Figura 14 se aprecia cómo los meridianos de la parte izquierda del cuerpo, donde se colocó el móvil, mantienen el equilibrio, **antes** había un meridiano en deficiencia y **después** sigue habiendo un meridiano también en deficiencia.

Se vuelve a constatar de nuevo cómo los protectores de Pranan Technologies benefician y estructuran el CEH, en esta ocasión en la pantalla Diagram, que es la cuantificación de la medida tomada: emisión electrofotónica del ser humano.

Figura 13. Diagram, **antes** de hablar por el teléfono móvil. Móvil PROTECTORES (Phone + Phiwaves).

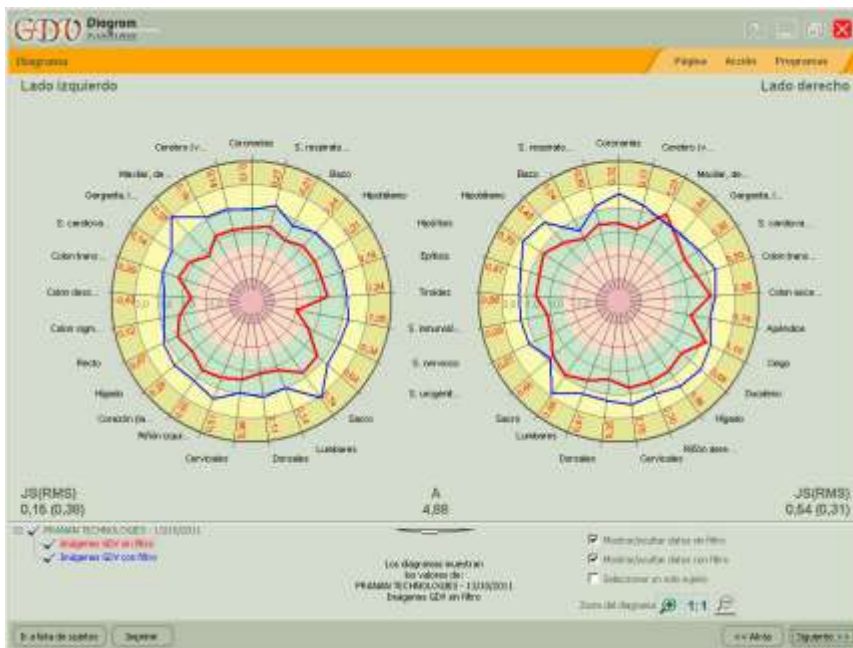


Figura 14. Diagram, **después** de hablar por el teléfono móvil. Móvil PROTECTORES (Phone + Phiwaves).



4. Energía Vital GDV-EPC

Figura 15. Nivel de Energía Vital, **antes VS después** de hablar por el teléfono móvil, móvil SIN PROTECTORES.

La Figura 15 muestra el Nivel de Energía Vital global, pormenorizado por el lado izquierdo y el lado derecho del cuerpo, comparando dicho nivel antes VS después de hablar por el móvil SIN PROTECTORES.

El lado derecho mantiene el mismo nivel de energía, sin embargo, el lado izquierdo pasa de un nivel ideal (justo en la media) antes, a un nivel de deficiencia (zona rosa), después.

Figura 16. Nivel de Energía Vital, **antes VS después** de hablar por el móvil CON PROTECTORES (PhiOne + PhiWaves).

La Figura 16 muestra el Nivel de Energía Vital global, pormenorizado por el lado izquierdo y el lado derecho del cuerpo, comparando dicho nivel antes VS después de hablar por el móvil CON PROTECTORES. El lado derecho mantiene el mismo nivel de energía, y el lado izquierdo aumenta ligeramente.

Figura 15. Nivel de Energía Vital, **antes VS después** de hablar por el teléfono móvil, móvil SIN PROTECTORES.



Figura 16. Nivel de Energía Vital, **antes VS después** de hablar por el teléfono móvil, móvil CON PROTECTORES.



5. Coeficiente de Activación GDV-EPC

Figura 17. Coeficiente de Activación, **antes VS después** de hablar por el teléfono móvil, móvil SIN PROTECTORES.

La Figura 17 muestra el Coeficiente de Activación. Este coeficiente se calcula comparando los Biogramas Sin Filtro con los Con Filtro. El nivel óptimo está entre 2 y 4. De 4 a 6 es un nivel alto, de 6 a 8 muy alto, y más de 8 muy perjudicial.

Esta gráfica muestra el Coeficiente de Activación medio de todos los meridianos del cuerpo, comparando el antes VS después. Antes de hablar SIN PROTECTORES estaba en un valor de 6,12, es decir, nivel alto; después de hablar sin protectores aumenta a 7,54, es decir, entra ya en la zona “muy alto”.

Se aprecia claramente cómo el hablar por el móvil SIN PROTECTORES ha “estresado” el sistema energético.

Figura 17



Figura 18



Figura 18. Coeficiente de Activación, **antes VS después** de hablar por el móvil CON PROTECTORES (PhiOne + PhiWaves).

La Figura 18 muestra el Coeficiente de Activación. Este coeficiente se calcula comparando los Biogramas Sin Filtro GDV con los Con Filtro GDV.

El nivel óptimo está entre 2 y 4. De 4 a 6 es un nivel alto, de 6 a 8 muy alto, y más de 8 altísimo. Esta gráfica muestra el Coeficiente de Activación medio de todos los meridianos del cuerpo, comparando el antes VS después.

Antes de hablar CON PROTECTORES estaba en un valor de 4,88, es decir, nivel alto; después de hablar sin protectores disminuye a 4,69, lo cual supone una ligera mejoría.

Se aprecia claramente cómo el hablar por el móvil CON PROTECTORES ha mantenido el nivel de activación del sistema energético.

Figura 19. Tabla – GDV Diagram, **antes** de hablar por el teléfono móvil, móvil **SIN PROTECTORES**.

GDV Diagram					
PRANAN TECHNOLOGIES - 11/10/2011					
Imágenes GDV sin filtro					
	Dedo y sector	Lado izquierdo	Lado derecho	Media	Diferencia
Ojo dcho.	1R 1 + 1L 1	-0,16	0,51	0,17	-0,67
Oído dcho., nariz, seno maxilar	1R 2 + 1L 2	-1,09	0,44	-0,33	-1,53
Maxilar, dentadura dcha.	1R 3 + 1L 3	-0,28	0,39	0,05	-0,67
Garganta, laringe, tráquea, tiroides	1R 4 + 1L 4	-0,13	-0,27	-0,20	0,14
Maxilar, dentadura izda.	1R 5 + 1L 5	0,16	-0,07	0,05	0,23
Oído izdo., nariz, seno maxilar	1R 6 + 1L 6	0,24	-0,09	0,07	0,33
Ojo izdo.	1R 7 + 1L 7	0,19	0,52	0,35	-0,32
Cerebro (córtex)	1R 8 + 1L 8	0,05	0,30	0,18	-0,24
Cervicales	2R 1 + 2L 8	-0,21	0,23	0,01	-0,44
Dorsales	2R 2 + 2L 7	-1,30	0,49	-0,41	-1,79
Lumbares	2R 3 + 2L 6	-0,52	0,02	-0,25	-0,54
Sacro	2R 4 + 2L 5	0,28	1,41	0,85	-1,13
Coxis, pelvis menor	2R 5 + 2L 4	0,54	0,87	0,70	-0,32
Ciego	2R 6		0,83		
Apéndice	2R 7		0,30		
Colon ascendente	2R 8		0,93		
Colon transversal	2R 9 + 2L 9	0,06	0,59	0,33	-0,53
Colon descendente	2L 1	-0,10			
Colon sigmoide	2L 2	-0,33			
Recto	2L 3	0,57			
Tórax, s. respiratorio	3R 1 + 3L 6	0,20	0,27	0,24	-0,07
S. inmunológico	3R 2 + 3L 5	-0,28	0,07	-0,10	-0,35
Vesícula biliar	3R 3		0,18		
Hígado	3R 4 + 3L 3	0,33	0,16	0,25	0,17
Riñón derecho	3R 5		0,30		
S. cardiovascular	3R 6 + 3L 1	-0,23	0,18	-0,02	-0,41
Cerebro (vasos)	3R 7 + 3L 7	-0,46	0,26	-0,10	-0,71
Riñón izquierdo	3L 2	0,31			
Abdomen	3L 4	0,06			
Hipófisis	4R 1 + 4L 8	1,00	0,41	0,70	0,59
Tiroides	4R 2 + 4L 7	0,78	-0,46	0,16	1,25
Pancreas	4R 3 + 4L 6	0,63	-1,29	-0,33	1,91
Suprarrenales	4R 4 + 4L 5	0,75	0,22	0,48	0,53
S. urogenital	4R 5 + 4L 4	-0,39	0,57	0,09	-0,96
Bazo	4R 6 + 4L 3	-1,86	-0,27	-1,07	-1,60
S. nervioso	4R 7 + 4L 2	-0,37	-0,66	-0,52	0,29
Hipotálamo	4R 8 + 4L 1	0,07	0,34	0,20	-0,27
Epifisis	4R 9 + 4L 9	0,06	0,05	0,05	0,01
Duodeno	5R 1		0,41		
Íleon	5R 2		0,89		
S. respiratorio, mamas	5R 3 + 5L 3	1,37	0,51	0,94	0,86
Riñón derecho	5R 4		-0,54		
Corazón	5R 5		0,43		
Coronarias	5R 6 + 5L 6	0,14	0,31	0,23	-0,16
Corazón (lado izdo.)	5L 1	-0,10			
Riñón izquierdo	5L 2	0,37			
Yeyuno	5L 4	0,86			
Corazón (lado dcho.)	5L 5	0,65			
Coefficiente de activación		6,12			
Nivel de energía vital		-0,02	0,28	0,13	-0,30
Índ. deseq. del niv. energ. vital		0,67	0,44	0,55	0,23
Entropía diagrama		1,81	1,86	1,83	-0,04

Figura 20. Tabla – GDV Diagram, después de hablar por el teléfono móvil, móvil SIN PROTECTORES.

GDV Diagram					
PRANAN TECHNOLOGIES - 11/10/2011 - MÓVIL 57 min - Belcro cabeza - Oído izqu					
Imágenes GDV sin filtro					
	Dedo y sector	Lado izquierdo	Lado derecho	Media	Diferencia
Ojo dcho.	1R 1 + 1L 1	-1,49	0,62	-0,44	-2,10
Oído dcho., nariz, seno maxilar	1R 2 + 1L 2	-0,69	0,45	-0,12	-1,14
Maxilar, dentadura dcha.	1R 3 + 1L 3	0,07	0,88	0,48	-0,82
Garganta, laringe, tráquea, tiroides	1R 4 + 1L 4	0,11	0,76	0,43	-0,65
Maxilar, dentadura izda.	1R 5 + 1L 5	-0,29	0,36	0,03	-0,66
Oído izdo., nariz, seno maxilar	1R 6 + 1L 6	-0,45	0,41	-0,02	-0,87
Ojo izdo.	1R 7 + 1L 7	-1,14	0,40	-0,37	-1,54
Cerebro (córtex)	1R 8 + 1L 8	-1,11	0,41	-0,35	-1,52
Cervicales	2R 1 + 2L 8	-0,99	0,46	-0,26	-1,45
Dorsales	2R 2 + 2L 7	-2,59	0,33	-1,13	-2,92
Lumbares	2R 3 + 2L 6	-2,24	0,35	-0,94	-2,59
Sacro	2R 4 + 2L 5	-1,20	1,38	0,09	-2,58
Coxis, pelvis menor	2R 5 + 2L 4	0,21	0,55	0,38	-0,34
Ciego	2R 6		0,34		
Apéndice	2R 7		-0,25		
Colon ascendente	2R 8		0,69		
Colon transversal	2R 9 + 2L 9	-0,04	0,81	0,39	-0,85
Colon descendente	2L 1	-1,36			
Colon sigmoide	2L 2	-1,85			
Recto	2L 3	-1,03			
Tórax, s. respiratorio	3R 1 + 3L 6	0,05	0,70	0,38	-0,65
S. inmunológico	3R 2 + 3L 5	-0,45	0,42	-0,02	-0,87
Vesícula biliar	3R 3		0,05		
Hígado	3R 4 + 3L 3	0,60	0,06	0,33	0,54
Riñón derecho	3R 5		-0,00		
S. cardiovascular	3R 6 + 3L 1	-0,61	0,40	-0,10	-1,01
Cerebro (vasos)	3R 7 + 3L 7	-0,31	0,63	0,16	-0,93
Riñón izquierdo	3L 2	1,23			
Abdomen	3L 4	-0,67			
Hipófisis	4R 1 + 4L 8	0,83	0,31	0,57	0,52
Tiroides	4R 2 + 4L 7	-0,27	0,31	0,02	-0,58
Pancreas	4R 3 + 4L 6	-0,16	0,31	0,08	-0,48
Suprarrenales	4R 4 + 4L 5	0,89	0,41	0,65	0,48
S. urogenital	4R 5 + 4L 4	0,12	0,00	0,06	0,12
Bazo	4R 6 + 4L 3	-1,78	-1,56	-1,67	-0,22
S. nervioso	4R 7 + 4L 2	-1,73	0,02	-0,86	-1,74
Hipotálamo	4R 8 + 4L 1	-2,05	0,45	-0,80	-2,50
Epifisis	4R 9 + 4L 9	-0,95	0,45	-0,25	-1,40
Duodeno	5R 1		0,59		
Íleon	5R 2		1,05		
S. respiratorio, mamas	5R 3 + 5L 3	1,42	0,41	0,91	1,02
Riñón derecho	5R 4		-1,37		
Corazón	5R 5		0,51		
Coronarias	5R 6 + 5L 6	0,18	0,37	0,28	-0,19
Corazón (lado izdo.)	5L 1	0,54			
Riñón izquierdo	5L 2	0,55			
Yeyuno	5L 4	0,11			
Corazón (lado dcho.)	5L 5	-0,64			
Coficiente de activación		7,54			
Nivel de energía vital		-0,63	0,34	-0,15	-0,98
Índ. deseq. del niv. energ. vital		1,07	0,52	0,79	0,55
Entropía diagrama		2,20	1,53	1,86	0,67

Las Figuras 21 y 22 muestran los valores cuantificados del Diagram, expuestos en valores numéricos en una tabla, comparando el antes VS después de hablar por el móvil CON PROTECTORES PhiOne y PhiWaves.

Hagamos la comparativa por cada lado:

En el **lado derecho** del cuerpo, antes no hay ningún meridiano en deficiencia (que son los más desestructurantes) y hay 4 en exceso, y después sigue sin haber meridianos en deficiencia; y quedan 2 en exceso; es decir, se mejora muy ligeramente.

En el **lado izquierdo** del cuerpo, donde se puso el móvil (oído izquierdo), esta vez CON PROTECTORES PhiOne y PhiWaves, antes hay 1 meridiano en deficiencia, y después hay 1 meridiano también. Es decir, que hay un efecto positivo de protección electromagnética.

Figura 21. Tabla – GDV Diagram, antes de hablar por el teléfono móvil CON PROTECTORES (PhiOne + PhiWaves)

GDV Diagram					
PRANAN TECHNOLOGIES - 13/10/2011					
Imágenes GDV sin filtro					
	Dedo y sector	Lado izquierdo	Lado derecho	Media	Diferencia
Ojo dcho.	1R 1 + 1L 1	0,00	0,43	0,21	-0,43
Oído dcho., nariz, seno maxilar	1R 2 + 1L 2	0,04	0,55	0,29	-0,52
Maxilar, dentadura dcha.	1R 3 + 1L 3	0,10	1,23	0,67	-1,13
Garganta, laringe, tráquea, tiroides	1R 4 + 1L 4	-0,37	0,64	0,13	-1,01
Maxilar, dentadura izda.	1R 5 + 1L 5	0,16	0,28	0,22	-0,11
Oído izdo., nariz, seno maxilar	1R 6 + 1L 6	-0,21	0,57	0,18	-0,79
Ojo izdo.	1R 7 + 1L 7	-0,27	0,68	0,20	-0,95
Cerebro (córtez)	1R 8 + 1L 8	0,02	0,77	0,39	-0,74
Cervicales	2R 1 + 2L 8	0,36	0,70	0,53	-0,34
Dorsales	2R 2 + 2L 7	0,11	0,35	0,23	-0,24
Lumbares	2R 3 + 2L 6	0,14	0,61	0,38	-0,47
Sacro	2R 4 + 2L 5	0,74	0,88	0,81	-0,14
Coxis, pelvis menor	2R 5 + 2L 4	1,37	1,01	1,19	0,37
Ciego	2R 6		1,10		
Apéndice	2R 7		0,14		
Colon ascendente	2R 8		0,95		
Colon transversal	2R 9 + 2L 9	0,29	0,50	0,39	-0,22
Colon descendente	2L 1	-0,43			
Colon sigmoide	2L 2	0,12			
Recto	2L 3	0,47			
Tórax, s. respiratorio	3R 1 + 3L 6	0,14	0,49	0,32	-0,35
S. inmunológico	3R 2 + 3L 5	-1,05	0,09	-0,48	-1,14
Vesícula biliar	3R 3		0,16		
Hígado	3R 4 + 3L 3	0,29	0,66	0,47	-0,38
Riñón derecho	3R 5		0,70		
S. cardiovascular	3R 6 + 3L 1	0,14	0,32	0,23	-0,18
Cerebro (vasos)	3R 7 + 3L 7	0,14	0,17	0,16	-0,02
Riñón izquierdo	3L 2	0,51			
Abdomen	3L 4	0,06			
Hipófisis	4R 1 + 4L 8	0,21	0,79	0,50	-0,58
Tiroides	4R 2 + 4L 7	0,24	0,56	0,40	-0,32
Pancreas	4R 3 + 4L 6	0,41	0,54	0,48	-0,13
Suprarrenales	4R 4 + 4L 5	0,85	0,67	0,76	0,18
S. urogenital	4R 5 + 4L 4	0,64	0,65	0,64	-0,00
Bazo	4R 6 + 4L 3	-0,01	0,04	0,01	-0,05
S. nervioso	4R 7 + 4L 2	-0,34	0,21	-0,06	-0,55
Hipotálamo	4R 8 + 4L 1	0,24	0,45	0,35	-0,20
Epífisis	4R 9 + 4L 9	0,16	0,57	0,36	-0,41
Duodeno	5R 1		0,48		
Íleon	5R 2		1,10		
S. respiratorio, mamas	5R 3 + 5L 3	0,27	0,39	0,33	-0,12
Riñón derecho	5R 4		-0,33		
Corazón	5R 5		-0,08		
Coronarias	5R 6 + 5L 6	0,13	0,32	0,22	-0,18
Corazón (lado izdo.)	5L 1	0,13			
Riñón izquierdo	5L 2	0,04			
Yeyuno	5L 4	0,59			
Corazón (lado dcho.)	5L 5	0,60			
Coficiente de activación		4,88			
Nivel de energía vital		0,15	0,54	0,34	-0,39
Índ. deseq. del niv. energ. vital		0,38	0,31	0,34	0,07
Entropía diagrama		1,69	2,17	1,93	-0,48

Figura 22. Tabla – GDV Diagram, **después** de hablar por el teléfono móvil **CON PROTECTORES** (PhiOne + PhiWaves)

GDV Diagram					
PRANAN TECHNOLOGIES - 13/10/2011 - Móvil 43' con PhiOne + PhiWaves - Belcro cabeza - Oído izqu					
Imágenes GDV sin filtro					
	Dedo y sector	Lado izquierdo	Lado derecho	Media	Diferencia
Ojo dcho.	1R 1 + 1L 1	0,04	0,53	0,28	-0,49
Oído dcho., nariz, seno maxilar	1R 2 + 1L 2	0,07	0,70	0,39	-0,63
Maxilar, dentadura dcha.	1R 3 + 1L 3	0,29	1,05	0,67	-0,76
Garganta, laringe, tráquea, tiroides	1R 4 + 1L 4	-0,22	0,43	0,10	-0,65
Maxilar, dentadura izda.	1R 5 + 1L 5	0,45	0,41	0,43	0,04
Oído izdo., nariz, seno maxilar	1R 6 + 1L 6	0,51	0,37	0,44	0,13
Ojo izdo.	1R 7 + 1L 7	0,29	0,52	0,41	-0,22
Cerebro (córtex)	1R 8 + 1L 8	0,11	0,50	0,31	-0,39
Cervicales	2R 1 + 2L 8	0,36	0,41	0,38	-0,05
Dorsales	2R 2 + 2L 7	0,38	0,30	0,34	0,08
Lumbares	2R 3 + 2L 6	0,16	0,25	0,20	-0,10
Sacro	2R 4 + 2L 5	0,99	0,70	0,85	0,29
Coxis, pelvis menor	2R 5 + 2L 4	1,51	0,95	1,23	0,57
Ciego	2R 6		1,05		
Apéndice	2R 7		0,49		
Colon ascendente	2R 8		0,37		
Colon transversal	2R 9 + 2L 9	0,36	0,57	0,46	-0,21
Colon descendente	2L 1	0,12			
Colon sigmoide	2L 2	-0,99			
Recto	2L 3	0,41			
Tórax, s. respiratorio	3R 1 + 3L 6	0,71	0,51	0,61	0,20
S. inmunológico	3R 2 + 3L 5	0,23	0,23	0,23	0,01
Vesícula biliar	3R 3		0,06		
Hígado	3R 4 + 3L 3	0,44	0,77	0,61	-0,33
Riñón derecho	3R 5		0,55		
S. cardiovascular	3R 6 + 3L 1	0,32	0,46	0,39	-0,15
Cerebro (vasos)	3R 7 + 3L 7	0,56	0,59	0,57	-0,02
Riñón izquierdo	3L 2	0,18			
Abdomen	3L 4	0,18			
Hipófisis	4R 1 + 4L 8	1,03	0,96	0,99	0,07
Tiroides	4R 2 + 4L 7	0,09	0,66	0,38	-0,57
Pancreas	4R 3 + 4L 6	0,09	-0,02	0,04	0,11
Suprarrenales	4R 4 + 4L 5	0,99	0,38	0,69	0,62
S. urogenital	4R 5 + 4L 4	0,26	0,18	0,22	0,08
Bazo	4R 6 + 4L 3	0,04	0,02	0,03	0,02
S. nervioso	4R 7 + 4L 2	0,18	0,33	0,26	-0,15
Hipotálamo	4R 8 + 4L 1	0,72	0,52	0,62	0,19
Epifisis	4R 9 + 4L 9	0,70	0,51	0,61	0,19
Duodeno	5R 1		0,68		
Íleon	5R 2		0,48		
S. respiratorio, mamas	5R 3 + 5L 3	0,84	0,94	0,89	-0,10
Riñón derecho	5R 4		0,30		
Corazón	5R 5		0,48		
Coronarias	5R 6 + 5L 6	0,50	0,53	0,51	-0,03
Corazón (lado izdo.)	5L 1	0,40			
Riñón izquierdo	5L 2	0,40			
Yeyuno	5L 4	0,69			
Corazón (lado dcho.)	5L 5	0,68			
Coefficiente de activación		4,69			
Nivel de energía vital		0,35	0,54	0,45	-0,19
Índ. deseq. del niv. energ. vital		0,41	0,27	0,34	0,14
Entropía diagrama		1,76	2,15	1,95	-0,39

6. Virtual Chakra GDV-EPC

Figura 23. Virtual CHAKRA, **antes** de hablar por el teléfono móvil, móvil SIN PROTECTORES.

Figura 24. Virtual CHAKRA, **después** de hablar por el teléfono móvil, móvil SIN PROTECTORES.

Las Figuras 23 y 24 muestran la pantalla “Virtual Chakra”. El Sistema GDV-EPC se basa en la correlación meridianos energéticos para informarnos del estado de los mismos.

Muestra dos informaciones, el nivel de energía y el de simetría. Este último informa del equilibrio energético, nivel emocional-nivel mental, hemisferio derecho-hemisferio izquierdo, intuición-acción.

En las medidas SIN PROTECTORES se aprecia de un modo inequívoco cómo se ven alterados tanto el nivel de energía de los mismos, como el nivel de equilibrio hemisferio derecho-hemisferio izquierdo.

Nivel de Energía: Antes de hablar por el móvil SIN PROTECTORES el nivel de energía de los 7 chakras era correcto, después entran en deficiencia el 1º y el 6º.

Simetría hemisférica: Antes de hablar por el móvil SIN PROTECTORES la simetría de los 7 chakras es correcta, después se desequilibran el 1º, el 6º y el 7º.

Figura 23. Virtual CHAKRA, **antes** de hablar por el teléfono móvil, móvil SIN PROTECTORES.

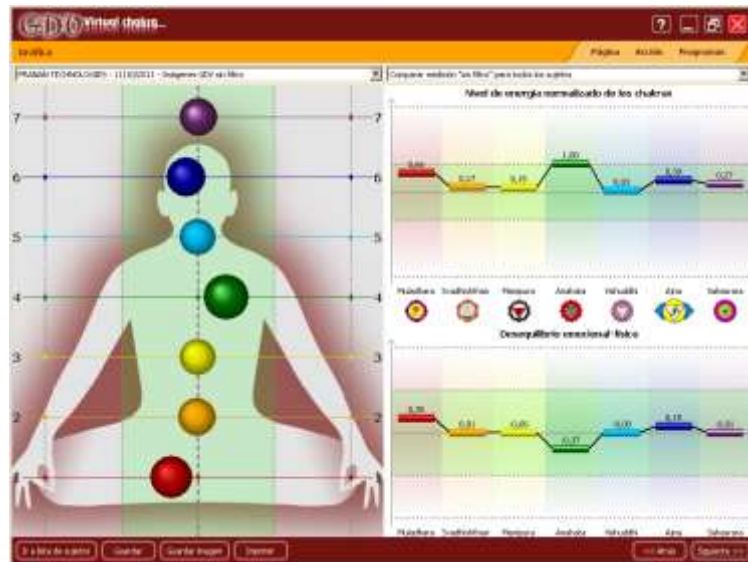


Figura 24. Virtual CHAKRA, **después** de hablar por el teléfono móvil, móvil SIN PROTECTORES.

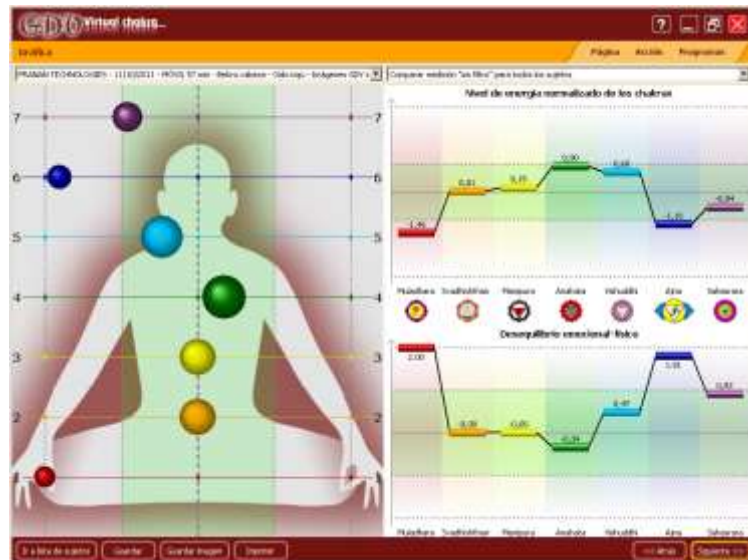


Figura 25. Virtual CHAKRA, **antes** de hablar por el teléfono móvil, móvil **CON PROTECTORES** (PhiOne + PhiWaves).
 Figura 26. Virtual CHAKRA, **después** de hablar por el teléfono móvil, móvil **CON PROTECTORES** (PhiOne + PhiWaves).

Las Figuras 25 y muestran la pantalla “Virtual Chakra”. El Sistema GDV-EPC se basa en la correlación meridianos energéticos para informarnos del estado de los mismos.

Muestra dos informaciones, el **nivel de energía** y el de **simetría**. Este último informa del equilibrio energético, nivel emocional-nivel mental, hemisferio derecho-hemisferio izquierdo, intuición-acción.

En las medidas CON PROTECTORES PhiOne y PhiWaves se aprecia de un modo patente el beneficio de dichos protectores.

Nivel de Energía: Antes de hablar por el móvil el nivel de energía de los 7 chakras era correcto, y después se mantiene también en un nivel correcto.

Simetría hemisférica: Antes de hablar por el móvil CON PROTECTORES la simetría de los 7 chakras es correcta, y después se da una mejoría en los chakras 5º y el 6º. De nuevo se comprueba que la tecnología de Pranan Technologies además de proteger benefician el CEH.

Figura 25. Virtual CHAKRA, **antes** de hablar por el teléfono móvil, móvil **CON PROTECTORES** (PhiOne + PhiWaves).

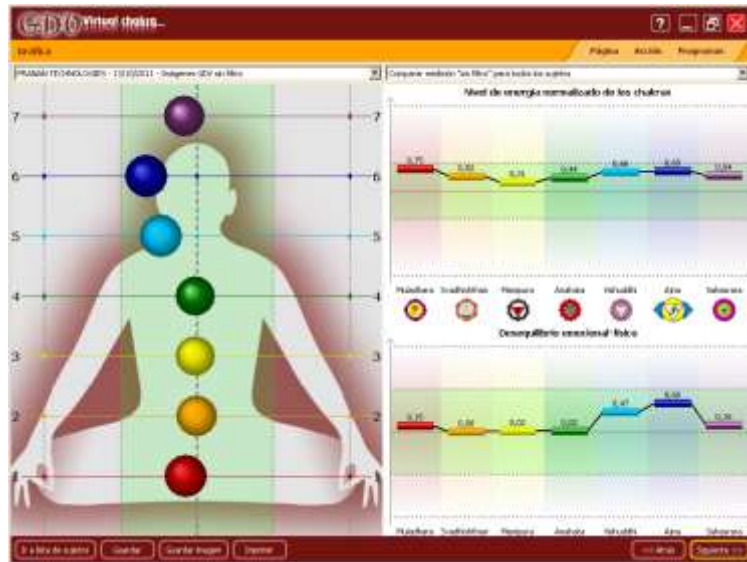
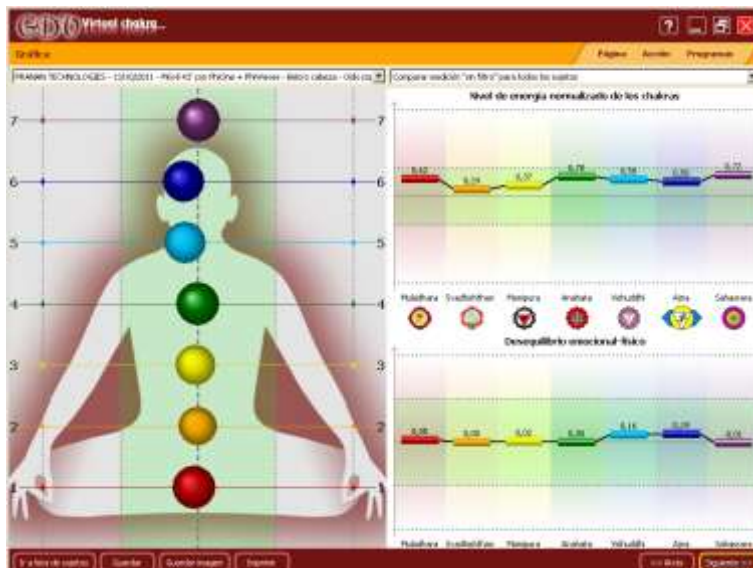


Figura 26. Virtual CHAKRA, **después** de hablar por el teléfono móvil, móvil **CON PROTECTORES** (PhiOne + PhiWaves).



7. SCREENING GDV-EPC

Con el Screening lo que hace el Sistema GDV-EPC es analizar de un modo pormenorizado el nivel de activación de los meridianos más importantes. En las Figuras 17 y 18 analizábamos el nivel de activación medio de todos los meridianos del cuerpo, ahora, con la pantalla SCREENING, cuantificamos el nivel de activación en los meridianos más relevantes. El Nivel de Activación mide el nivel de stress VS relajación del sistema energético, por eso es tan importante el resultado descrito en la siguiente pantalla.

Los resultados del Screening son los resultados más “finos” y fiables del Sistema GDV-EPC.

Figura 27. SCREENING, antes de hablar por el teléfono móvil, móvil SIN PROTECTORES

Figura 28. SCREENING, después de hablar por el teléfono móvil, móvil SIN PROTECTORES

Las Figuras 27 y 28 muestran los resultados del SCREENING. Lo más significativo de esta pantalla es su capacidad para detectar niveles de Activación en desequilibrio. Nos interesan sobre todo los niveles muy altos (superiores a 8), que muestran un nivel de estrés energético “preocupante”, desde un punto de vista energético.

Veamos cuáles han sido los resultados en esta pantalla antes VS después de hablar por el móvil, SIN PROTECTORES. Antes de hablar por el móvil SIN PROTECTORES no hay ningún meridiano con valores iguales o superiores a 8. Después de hablar por el móvil SIN PROTECTORES hay 3 meridianos con valores superiores a 8: Dorsales, Hipotálamo y Lumbares.

Figura 27. SCREENING, antes de hablar por el teléfono móvil, móvil SIN PROTECTORES

PRANAN TECHNOLOGIES - 11/10/2011, Imágenes GDV sin filtro							
	Área, mano izquierda	Área, mano derecha	Área, media	Área, diferencia	Entropía, mano izquierda	Entropía, mano derecha	Activación
SISTEMA CARDIOVASCULAR	0,06	0,31	0,19	-0,25	1,82	2,07	5,44
SISTEMA RESPIRATORIO	0,62	0,12	0,37	0,50	2,06	2,06	5,49
SISTEMA ENDOCRINO	0,41	-0,02	0,20	0,44	1,96	1,71	5,59
APARATO LOCOMOTOR	-0,24	0,60	0,18	-0,84	1,83	2,02	6,26
SISTEMA DIGESTIVO	0,29	0,33	0,31	-0,04	1,98	1,97	3,54
SISTEMA UROGENITAL	-0,02	0,22	0,10	-0,25	2,01	1,93	6,27
Apéndice		0,30				2,00	2,73
Cerebro (vasos)	-0,46	0,26	-0,10	-0,71	1,50	2,07	6,01
Cervicales	-0,21	0,23	0,01	-0,44	2,12	2,15	6,42
Ciego		0,83				1,96	2,63
Colon ascendente		0,93				1,89	1,19
Colon descendente	-0,10				1,83		3,65
Colon sigmoide	-0,33				1,85		4,05
Colon transverso	0,06	0,59	0,33	-0,53	1,68	2,11	4,36
Corazón	0,27	0,43	0,35	-0,16	1,88	1,95	4,87
Coronarias	0,14	0,31	0,23	-0,16	1,78	2,13	6,05
Coxis, pelvis menor	0,54	0,87	0,70	-0,32	1,86	1,87	5,27
Dorsales	-1,30	0,49	-0,41	-1,79	1,29	1,87	7,82
Dorsales	0,20	0,27	0,24	-0,07	1,94	2,13	5,17
Duodeno		0,41				2,06	4,00
Epifisis	0,06	0,05	0,05	0,01	1,88	1,58	6,27
Garganta, laringe, tráquea	-0,13	-0,27	-0,20	0,14	2,03	1,88	7,42
Hipotálamo	0,07	0,34	0,20	-0,27	1,53	1,85	5,50
Hipófisis	1,00	0,41	0,70	0,59	2,25	1,57	4,22
Higado	0,33	0,16	0,25	0,17	2,14	2,13	5,20
Lumbares	-0,52	0,02	-0,25	-0,54	1,82	2,04	6,84
Mamas	1,37	0,51	0,94	0,86	2,09	2,23	3,56
Oídos, nariz, seno maxilar	-0,43	0,17	-0,13	-0,60	1,46	1,92	6,90
Pancreas	0,63	-1,29	-0,33	1,91	2,14	1,32	7,27
Recto	0,57				2,12		4,73
Riñones	0,34	-0,12	0,11	0,46	2,13	1,77	6,16
Sacro	0,28	1,41	0,85	-1,13	2,08	2,14	4,93
Suprarrenales	0,75	0,22	0,48	0,53	1,86	1,58	5,27
Tiroides	0,78	-0,46	0,16	1,25	2,14	1,96	4,24
Vesícula biliar		0,18				2,18	2,53
Yeyuno	0,86				2,14		0,78
Íleon		0,89				2,07	2,86

Figura 28. SCREENING, después de hablar por el teléfono móvil, móvil SIN PROTECTORES

PRANAN TECHNOLOGIES - 11/10/2011 - MÓVIL 57 min - Belcro cabeza - Oído izqu. Imágenes GDV sin filtro							
	Área, mano izquierda	Área, mano derecha	Área, media	Área, diferencia	Entropía, mano izquierda	Entropía, mano derecha	Activación
SISTEMA CARDIOVASCULAR	-0,16	0,43	0,14	-0,59	1,60	2,13	5,40
SISTEMA RESPIRATORIO	0,77	0,58	0,67	0,18	2,18	2,08	4,95
SISTEMA ENDOCRINO	-0,23	0,32	0,05	-0,55	1,79	2,06	6,32
APARATO LOCOMOTOR	-1,36	0,61	-0,37	-1,97	1,46	2,03	7,49
SISTEMA DIGESTIVO	-0,53	0,41	-0,06	-0,94	1,83	1,99	4,18
SISTEMA UROGENITAL	0,51	-0,34	0,08	0,85	2,07	2,05	6,26
Apéndice		-0,25				1,81	3,94
Cerebro (vasos)	-0,31	0,63	0,16	-0,93	1,67	2,06	4,84
Cervicales	-0,99	0,46	-0,26	-1,45	1,43	2,03	7,13
Ciego		0,34				1,83	3,79
Colon ascendente		0,69				1,95	0,70
Colon descendente	-1,36				2,13		6,08
Colon sigmoide	-1,85				1,96		6,38
Colon transverso	-0,04	0,81	0,39	-0,85	1,53	2,05	3,91
Corazón	-0,05	0,51	0,23	-0,56	1,87	2,15	5,94
Coronarias	0,18	0,37	0,28	-0,19	1,89	2,16	4,50
Coxis, pelvis menor	0,21	0,55	0,38	-0,34	2,00	1,82	6,14
Dorsales	-2,59	0,33	-1,13	-2,92	0,55	2,15	8,50
Dorsales	0,05	0,70	0,38	-0,65	1,48	1,99	4,70
Duodeno		0,59				2,17	4,05
Epifisis	-0,95	0,45	-0,25	-1,40	1,51	1,97	6,62
Garganta, laringe, tráquea	0,11	0,76	0,43	-0,65	2,24	1,93	5,78
Hipotálamo	-2,05	0,45	-0,80	-2,50	1,27	2,12	8,50
Hipófisis	0,83	0,31	0,57	0,52	2,09	1,87	4,78
Higado	0,60	0,06	0,33	0,54	2,11	2,06	4,77
Lumbares	-2,24	0,35	-0,94	-2,59	1,59	2,15	8,50
Mamas	1,42	0,41	0,91	1,02	2,13	2,23	4,12
Oídos, nariz, seno maxilar	-0,57	0,43	-0,07	-1,00	1,64	1,82	4,96
Pancreas	-0,16	0,31	0,08	-0,48	1,65	2,11	6,83
Recto	-1,03				1,78		6,32
Riñones	0,89	-0,69	0,10	1,58	2,06	1,87	6,45
Sacro	-1,20	1,38	0,09	-2,58	1,74	1,97	7,20
Suprarrenales	0,89	0,41	0,65	0,48	1,83	1,97	5,14
Tiroides	-0,27	0,31	0,02	-0,58	2,09	2,13	6,31
Vesícula biliar		0,05				1,85	3,19
Yeyuno	0,11				1,61		3,44
Íleon		1,05				2,06	0,89

Página 1 de 1

 Figura 29. SCREENING, antes de hablar por el teléfono móvil, móvil CON PROTECTORES (PhiOne + PhiWaves).

 Figura 30. SCREENING, después de hablar por el teléfono móvil, móvil CON PROTECTORES (PhiOne + PhiWaves).

Las Figuras 29 y 30 muestran los resultados del SCREENING. Lo más significativo de esta pantalla es su capacidad para detectar niveles de Activación en desequilibrio. Nos interesan sobre todo los niveles muy altos (superiores a 8), que muestran un nivel de estrés energético “preocupante”, desde un punto de vista energético.

Screening significa “investigación”, lo que hace el Sistema GDV-EPC es analizar de un modo pormenorizado el nivel de activación de los meridianos más importantes.

En las Figuras 17 y 18 analizábamos el nivel de activación medio de todos los meridianos del cuerpo, ahora, con la pantalla SCREENING, cuantificamos el nivel de activación en los meridianos más relevantes.

El Nivel de Activación mide el nivel de stress VS relajación del sistema energético, por eso es tan importante el resultado de esta pantalla. Bajo mi punto de vista, y en base a mi experiencia clínica en consulta, afirmo sin ningún género de dudas que los resultados del Screening son los resultados más “finos” y fiables del Sistema GDV-EPC.

Veamos cuáles han sido los resultados en esta pantalla antes VS después de hablar por el móvil, pero en esta ocasión CON PROTECTORES PhiOne y PhiWaves.

Antes de hablar por el móvil CON PROTECTORES no hay ningún meridiano con valores iguales o superiores a 8.

Después de hablar por el móvil SIN PROTECTORES sigue sin haber ningún meridiano con valores superiores a 8.

Estos resultados confirman de nuevo, y como decía antes según mi criterio profesional el screening es la medida más fiable, que los protectores PhiOne y PhiWaves protegen el CEH de la influencia negativa de la telefonía móvil.

Figura 29. SCREENING, antes de hablar por el teléfono móvil, móvil CON PROTECTORES (PhiOne + PhiWaves).

FRANAN TECHNOLOGIES - 13/10/2011, Imágenes GDV sin filtro							
	Área, mano izquierda	Área, mano derecha	Área, media	Área, diferencia	Entropía, mano izquierda	Entropía, mano derecha	Activación
SISTEMA CARDIOVASCULAR	0,21	0,18	0,20	0,03	1,89	1,96	5,09
SISTEMA RESPIRATORIO	-0,05	0,52	0,23	-0,57	1,66	1,92	5,51
SISTEMA ENDOCRINO	0,39	0,60	0,50	-0,21	1,98	1,99	4,47
APARATO LOCOMOTOR	0,54	0,71	0,63	-0,16	2,05	2,13	4,66
SISTEMA DIGESTIVO	0,25	0,63	0,44	-0,38	1,93	1,98	2,82
SISTEMA UROGENITAL	0,46	0,41	0,44	0,04	2,03	2,03	4,20
Apéndice		0,14				2,15	3,05
Cerebro (vasos)	0,14	0,17	0,16	-0,02	1,92	2,01	5,22
Cervicales	0,36	0,70	0,53	-0,34	2,10	2,19	4,18
Ciego		1,10				2,00	1,23
Colon ascendente		0,95				1,89	0,95
Colon descendente	-0,43				1,49		3,87
Colon sigmoide	0,12				1,75		2,65
Colon transverso	0,29	0,50	0,39	-0,22	2,08	2,16	4,60
Corazón	0,37	-0,08	0,14	0,45	2,01	1,92	5,28
Coronarias	0,13	0,32	0,22	-0,18	1,97	1,95	5,32
Coxis, pelvis menor	1,37	1,01	1,19	0,37	2,10	2,04	3,75
Dorsales	0,11	0,35	0,23	-0,24	1,87	2,15	5,12
Dorsales	0,14	0,49	0,32	-0,35	1,63	2,07	4,70
Duodeno		0,48				2,16	3,65
Epifisis	0,16	0,57	0,36	-0,41	1,85	2,18	4,89
Garganta, laringe, tráquea	-0,37	0,64	0,13	-1,01	1,60	2,02	6,19
Hipotálamo	0,24	0,45	0,35	-0,20	2,02	2,03	5,23
Hipófisis	0,21	0,79	0,50	-0,58	2,03	1,96	5,16
Hígado	0,29	0,66	0,47	-0,38	1,90	1,83	4,93
Lumbares	0,14	0,61	0,38	-0,47	1,96	2,20	4,42
Mamas	0,27	0,39	0,33	-0,12	1,72	1,82	4,82
Oídos, nariz, seno maxilar	-0,09	0,56	0,24	-0,65	1,87	1,94	5,02
Pancreas	0,41	0,54	0,48	-0,13	2,10	1,94	3,94
Recto	0,47				2,03		2,67
Riñones	0,27	0,18	0,23	0,09	1,93	2,02	5,54
Sacro	0,74	0,88	0,81	-0,14	2,19	2,10	5,83
Suprarrenales	0,85	0,67	0,76	0,18	1,74	1,85	4,69
Tiroides	0,24	0,56	0,40	-0,32	1,96	1,92	4,54
Vesícula biliar		0,16				1,98	2,68
Yeyuno	0,59				2,20		2,19
Íleon		1,10				1,68	0,27

Página 1 de 1

 Figura 30. SCREENING, después de hablar por el teléfono móvil, móvil CON PROTECTORES (PhiOne + PhiWaves).

FRANAN TECHNOLOGIES - 13/10/2011 - Móvil 43' con PhiOne + PhiWaves - Belcro cabeza - Oído izqu. Imágenes GDV sin filtro							
	Área, mano izquierda	Área, mano derecha	Área, media	Área, diferencia	Entropía, mano izquierda	Entropía, mano derecha	Activación
SISTEMA CARDIOVASCULAR	0,45	0,49	0,47	-0,04	2,08	2,07	4,03
SISTEMA RESPIRATORIO	0,31	0,68	0,50	-0,38	2,13	1,97	5,07
SISTEMA ENDOCRINO	0,56	0,46	0,51	0,10	2,03	1,91	4,15
APARATO LOCOMOTOR	0,68	0,52	0,60	0,16	1,97	2,03	4,69
SISTEMA DIGESTIVO	0,16	0,50	0,33	-0,34	1,91	1,97	3,40
SISTEMA UROGENITAL	0,28	0,30	0,29	-0,03	1,91	2,10	5,29
Apéndice		0,49				2,04	2,07
Cerebro (vasos)	0,56	0,59	0,57	-0,02	2,19	2,10	2,74
Cervicales	0,36	0,41	0,38	-0,05	2,09	2,07	4,29
Ciego		1,05				2,16	1,17
Colon ascendente		0,37				1,90	2,17
Colon descendente	0,12				1,45		3,26
Colon sigmoide	-0,99				1,92		5,12
Colon transverso	0,36	0,57	0,46	-0,21	2,22	2,14	3,93
Corazón	0,54	0,48	0,51	0,06	2,10	2,07	4,48
Coronarias	0,50	0,53	0,51	-0,03	2,23	2,11	3,97
Coxis, pelvis menor	1,51	0,95	1,23	0,57	2,07	1,74	3,27
Dorsales	0,38	0,30	0,34	0,08	1,70	2,15	6,32
Dorsales	0,71	0,51	0,61	0,20	2,16	2,19	3,97
Duodeno		0,68				1,95	2,76
Epifisis	0,70	0,51	0,61	0,19	2,20	2,10	3,32
Garganta, laringe, tráquea	-0,22	0,43	0,10	-0,65	2,19	1,89	6,19
Hipotálamo	0,72	0,52	0,62	0,19	2,23	2,00	3,76
Hipófisis	1,03	0,96	0,99	0,07	2,09	1,99	2,42
Hígado	0,44	0,77	0,61	-0,33	2,17	2,13	4,56
Lumbares	0,16	0,25	0,20	-0,10	1,99	2,05	5,29
Mamas	0,84	0,94	0,89	-0,10	2,06	2,05	3,94
Oídos, nariz, seno maxilar	0,29	0,54	0,42	-0,25	1,84	1,90	3,18
Pancreas	0,09	-0,02	0,04	0,11	1,83	1,27	5,26
Recto	0,41				2,06		4,10
Riñones	0,29	0,42	0,36	-0,13	2,07	2,07	4,97
Sacro	0,99	0,70	0,85	0,29	2,00	2,17	4,26
Suprarrenales	0,99	0,38	0,69	0,62	2,10	1,83	4,25
Tiroides	0,09	0,66	0,38	-0,57	2,03	2,04	4,43
Vesícula biliar		0,06				2,16	3,92
Yeyuno	0,69				1,75		1,89
Íleon		0,48				1,99	3,95

Página 1 de 1

8. SCILAB GDV-EPC

A continuación analizamos los resultados desde un punto de vista estadístico. Para obtener los cálculos utilizamos el programa **SciLab** (Scientific Laboratory). Nos ofrece una información contundente porque nos va a informar sobre la significatividad o no de la eficacia de los PROTECTORES PhiOne y PhiWaves frente a la radiación de baja intensidad emitida por telefonía móvil. Es decir, nos va a indicar si las diferencias “SIN PROTECTORES versus CON PROTECTORES” son significativas o no lo son. Nos va a informar si los cambios se deben o no al azar y en que porcentaje.

Cuando la probabilidad “p” es menor o igual al 5% se dice que las medidas muestran diferencias significativas, y que hay un 95% de probabilidades de que los cambios no se deban al azar, es decir, que los dispositivos protectores PhiOne y PhiWaves son eficaces. Si la “p” es menor o igual al 1% se dice que las medidas muestran diferencias muy significativas, y que hay un 99% de probabilidades de que los cambios no se deban al azar, es decir, que la protección es muy eficaz. También analizamos hasta qué punto la telefonía móvil sin protectores es desestructurante del CEH. La información referente al SciLab y a la interpretación de cada uno de los 7 parámetros analizados se indica en azul.

Figura 31. SCILAB, **Parámetro Cuántico: Área** Antes VS Después de hablar por el teléfono móvil, SIN PROTECTORES.
 Figura 32. SCILAB, **Parámetro Cuántico: Área** Antes VS Después de hablar por el teléfono móvil, CON PROTECTORES.

La Figura 31 muestra el Área antes VS después de hablar por el móvil SIN PROTECTORES. Se aprecia una disminución del área total, no significativa. Se aprecia también un aumento de la variabilidad en la distribución del área, algo que es negativo pues indica la desestructuración que provoca la radiación de la telefonía móvil en el CEH.

El Área es el número de pixels “iluminados”, a mayor área, mayor energía.

La Figura 32 muestra el Área antes VS después de hablar por el móvil CON PROTECTORES. Se aprecia un aumento del área total, con un valor de p del 11%, es decir, no significativo, pero se acerca al 5%. Se aprecia también una disminución de la variabilidad en la distribución del área, algo que es positivo pues indica la capacidad de los protectores PhiOne y PhiWaves para estructurar el CEH.

Figura 31

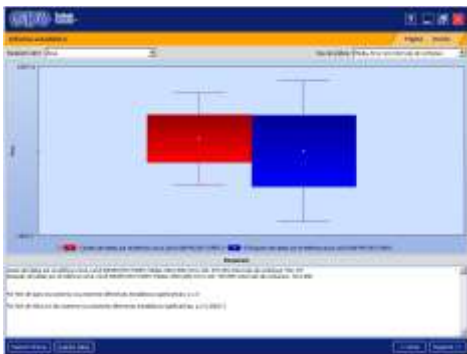


Figura 32



Figura 33. SCILAB, **Parámetro Cuántico: Intensidad** Antes VS Después de hablar por el móvil, SIN PROTECTORES.

Figura 34. SCILAB, **Parámetro Cuántico: Intensidad** Antes VS Después de hablar por el móvil, CON PROTECTORES.

La **Intensidad** es el grado de iluminación de los pixels, el nivel de intensidad debe estar en un intervalo correcto: muy poca intensidad es negativo, demasiada intensidad es también negativo. Por poner un símil con la electricidad, sería el equivalente al voltaje, un voltaje elevado puede hacer que un equipo, por ejemplo un ordenador, se estropee. Si el voltaje es insuficiente, el ordenador no arrancaría.

La Figura 33 muestra el cambio que ha habido en la Intensidad antes VS después de hablar por el móvil SIN PROTECTORES. Se aprecia un aumento significativo de la misma, $p=0,0166$ (1,66%), y también un aumento de la distribución de dicha intensidad en el CEH. Sin embargo, este aumento es negativo, porque el sistema del CEH alcanza un valor de intensidad demasiado alto.

La Figura 34 muestra el cambio que ha habido en la Intensidad antes VS después de hablar por el móvil CON PROTECTORES. Se aprecia una estabilidad muy elevada, la intensidad antes era correcta y después de hablar por el móvil CON PROTECTORES se mantiene tanto en valores como en su distribución.

Figura 33



Figura 34

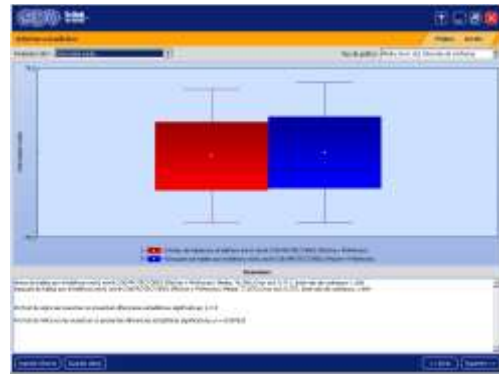


Figura 35. SCILAB, **P. Cuántico: N° de Fragmentos** Antes VS Después de hablar por el móvil, SIN PROTECTORES.
 Figura 36. SCILAB, **P. Cuántico: N° de Fragmentos** Antes VS Después de hablar por el móvil, CON PROTECTORES.

El **Número de fragmentos** es el número de trozos aislados que aparecen iluminados en la imagen, por lo general, a mayor número de fragmentos peor patrón energético, porque indica que la energía se está dispersando. Hay una excepción: en deportistas de élite, cuando visualizan su prueba y entran en un estado ampliado de conciencia, baja el área y aparecen muchos fragmentos. En todos los demás casos cuantos menos fragmentos haya mejor.

La Figura 35 muestra el Número de Fragmentos antes VS después de hablar por el móvil SIN PROTECTORES. Los fragmentos han disminuido de manera clara, aunque estadísticamente no es significativo.

La Figura 36 muestra el Número de Fragmentos antes VS después de hablar por el móvil CON PROTECTORES. Los fragmentos han disminuido también de manera clara, aunque estadísticamente no es significativo.

Figura 35

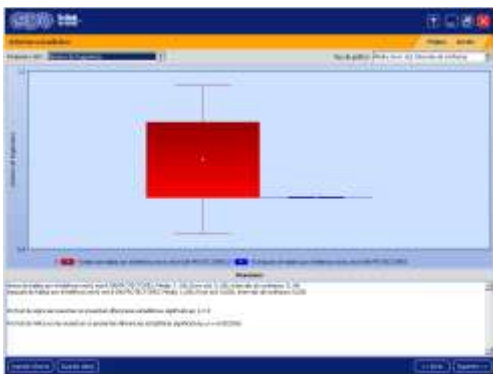


Figura 36



Figura 37. SCILAB, **P. Cuántico: Coeficiente de Forma** Antes VS Después de hablar por el móvil, SIN PROTECTORES.
 Figura 38. SCILAB, **P. Cuántico: Coeficiente de Forma** Antes VS Después de hablar por el móvil, CON PROTECTORES.

El **Coeficiente de forma** es el cociente entre la longitud del contorno exterior y la longitud de la elipse que forman los puntos promedio. Indica el nivel de estabilidad. Es una medida de la distorsión de la imagen.

Se utiliza para clasificar, junto con la Entropía, los distintos tipos de Biogramas. A mayor Coeficiente de forma mayor inestabilidad, es decir, que “interesa” que baje.

La Figura 37 muestra el Coeficiente de Forma antes VS después de hablar por el móvil SIN PROTECTORES. El valor ha aumentado, aunque no de modo significativo. Este aumento indica que la radiación de la telefonía móvil genera inestabilidad y distorsión en la estructura del CEH.

La Figura 38 muestra el Coeficiente de Forma antes VS después de hablar por el móvil CON PROTECTORES. El valor ha disminuido, y aunque no de modo significativo sí se ha acercado bastante, un 9% de valor de p, frente al 5% para considerarlo significativo. Esta disminución indica que los protectores PhiOne y PhiWaves aumentan la estabilidad en la estructura del CEH.

Figura 37



Figura 38



Figura 39. SCILAB, **Parámetro Cuántico: Entropía** Antes VS Después de hablar por el móvil, SIN PROTECTORES.
 Figura 40. SCILAB, **Parámetro Cuántico: Entropía** Antes VS Después de hablar por el móvil, CON PROTECTORES.

La **Entropía** indica el grado de comunicación en el sistema energético. A mayor entropía, mayor comunicación interna a nivel energético. No confundir con la “entropía termodinámica”, que mide el grado de desorden de un sistema.

Esta variable y la siguiente (Fractalidad) no son fácilmente modificables. El hecho de que los protectores PhiOne y PhiWaves hayan modificado favorablemente este parámetro es un dato a tener muy en cuenta.

La Figura 39 muestra la Entropía antes VS después de hablar por el móvil SIN PROTECTORES. El valor ha disminuido claramente y ha aumentado la dispersión de la distribución, lo cual es negativo, porque afecta a la comunicación interna del sistema energético del CEH.

La Figura 40 muestra la Entropía antes VS después de hablar por el móvil CON PROTECTORES. El valor ha aumentado de modo muy significativo, $p = 0,009$. Este cambio es muy positivo y muestra de nuevo la capacidad de los protectores PhiOne y PhiWaves para favorecer la comunicación interna a nivel energético en el CEH.

Figura 39



Figura 40



Figura 41. SCILAB, **Parámetro Cuántico: Fractalidad** Antes VS Después de hablar por el móvil, SIN PROTECTORES.
 Figura 42. SCILAB, **Parámetro Cuántico: Fractalidad** Antes VS Después de hablar por el móvil, CON PROTECTORES.

La **Fractalidad** es una medida de la regularidad de la imagen.

La Figura 41 muestra la Fractalidad antes VS después de hablar por el móvil SIN PROTECTORES. El valor ha aumentado ligeramente, con un valor de $p = 0,72$.

La Figura 42 muestra la Fractalidad antes VS después de hablar por el móvil CON PROTECTORES. El valor ha aumentado más que sin los protectores, el valor de $p = 0,16$. Valor que no se acerca al 5% significativo, pero que está mucho mejor que el 0,72. El aumento es positivo porque supone mejorar la regularidad de la imagen.

Comentar que hasta el momento, en todas las investigaciones que he realizado con el Sistema GDV-EPC nunca se ha mejorado la Fractalidad de modo significativo.

Figura 41

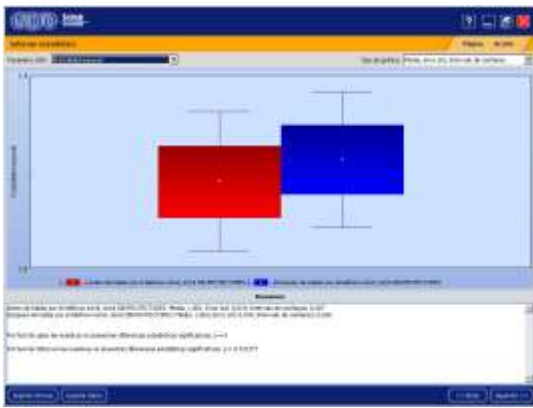


Figura 42



Figura 43. SCILAB, **Parámetro Cuántico: Ruido Interno** Antes VS Después de hablar por el móvil, SIN PROTECTORES.
 Figura 44. SCILAB, **Parámetro Cuántico: Ruido Interno** Antes VS Después de hablar por el móvil, CON PROTECTORES.

El **Ruido Interno (%)**. Un aumento del ruido interno informa que la energía electro-fotónica se dirige hacia el interior del organismo.

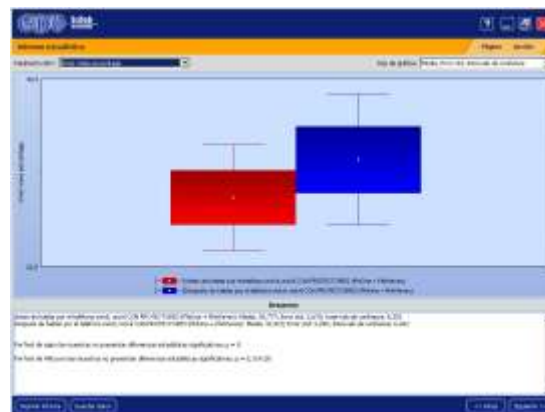
La Figura 43 muestra el Ruido Interno antes VS después de hablar por el móvil SIN PROTECTORES. El valor ha aumentado de modo significativo, con un valor de $p = 0,03$. Dirigir hacia el interior del organismo la energía electro-fotónica generada por la radiación del móvil no es positivo porque está desestructurada.

La Figura 44 muestra el Ruido Interno antes VS después de hablar por el móvil CON PROTECTORES. El valor ha aumentado, pero no de modo significativo, con un valor de $p = 0,11$. En este caso sí es positivo que se dirija hacia el interior del organismo la energía electro-fotónica porque los protectores PhiONE y PhiWaves estructura la misma.

Figura 43



Figura 44



9. CONCLUSIONES

El análisis de los datos obtenidos concluye que se han comprobado las dos hipótesis de partida:

Primera, que la telefonía móvil desequilibra y desestructura el CEH (Campo de Energía Humano) y el sistema de Meridianos, produciendo un efecto negativo sobre el equilibrio del CEH.

Segunda, que los protectores PhiOne y PhiWaves desarrollados y patentados por la empresa Pranan Technologies protegen el CEH y el sistema de meridianos, e incluso va más allá de la protección, mejorando el equilibrio energético del organismo humano.

Los resultados de los indicadores analizados en este estudio son concluyentes, y podemos afirmar que los protectores PhiOne y PhiWaves han actuado de modo significativo para proteger e incluso re-equilibrar el CEH (Campo de Energía Humano) y el sistema de meridianos, cuando utilizamos la telefonía móvil.

A modo de resumen, se han seleccionado las Figuras 24 y 26. Son las pantallas de Virtual Chakra. Esta pantalla unifica en 7 niveles los 49 meridianos que mide el sistema GDV-EPC. Si un solo centro energético está desequilibrado indica que realmente lo está (trabaja con medias aritméticas), y si la media está desequilibrada, es que lo están los meridianos asociados.

El Sistema GDV-EPC se basa en la correlación meridianos-centros energéticos para informarnos del estado de los mismos.

Muestra dos informaciones, el nivel de energía y el de simetría. Este último informa del equilibrio entre pares de opuestos: nivel emocional-nivel mental, hemisferio derecho-hemisferio izquierdo, intuición-acción.

Figura 24

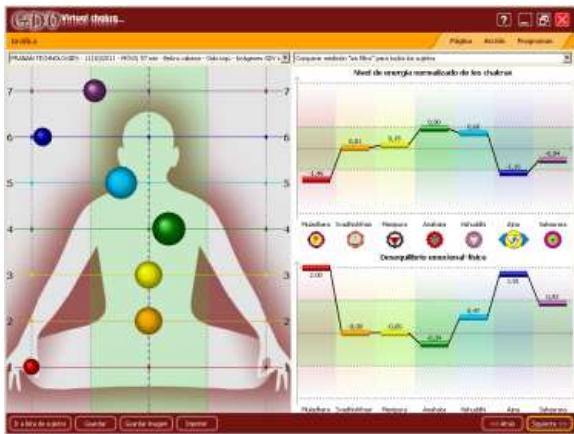
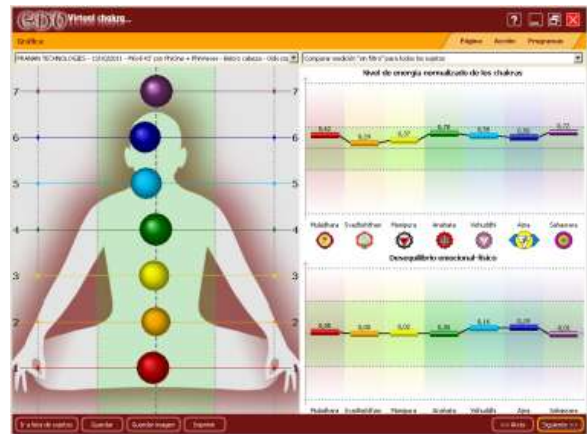


Figura 26



La Figura 24 muestra la pantalla “Virtual Chakra” después de hablar por el teléfono móvil SIN PROTECTORES.

Se aprecia de un modo inequívoco cómo se ven alterados tanto el nivel de energía de los mismos, como el nivel de intuición-acción.

Nivel de Energía: Antes de hablar por el móvil SIN PROTECTORES PhiOne y PhiWaves, el nivel de energía de los 7 chakras era correcto, después entran en deficiencia el 1º y el 6º.

Simetría hemisférica: Antes de hablar por el móvil SIN PROTECTORES PhiOne y PhiWaves, la simetría de los 7 centros energéticos es correcta, después se desequilibran el 1º, el 6º y el 7º.

La Figura 26 muestra la pantalla “Virtual Chakra” después de hablar por el teléfono móvil CON PROTECTORES. En las medidas CON PROTECTORES PhiOne y PhiWaves se aprecia de un modo patente el beneficio de dichos protectores.

Nivel de Energía: Antes de hablar por el móvil el nivel de energía de los 7 centros energéticos era correcto, y después se mantiene también en un nivel correcto.

Simetría hemisférica: Antes de hablar por el móvil CON PROTECTORES PhiOne y PhiWaves, la simetría de los 7 centros energéticos es correcta, y después se da una mejoría en los centros energéticos 5º y el 6º.

De nuevo queda fehacientemente demostrado que la tecnología de Pranan Technologies además de proteger frente a la radiación de baja intensidad emitida por los teléfonos móviles beneficia el Campo Energético Humano.

Mondragón, 1 de noviembre de 2011

10. ANEXO

TECNOLOGÍA GDV . La Bioelectrografía GDV-EPC es la tecnología que permite estudiar desde el método científico el Campo de Energía Humano, de vital importancia para la salud. Fue creada en la Universidad de S. Petersburgo, Rusia, por el prof. Korotkov. Ha sido reconocida por organismos oficiales como los Ministerios ruso y estadounidense de Salud.

REFERENCIA CIENTÍFICAS Y DE INSTITUCIONES

National Institute of Health (EE. UU.)

El National Institute of Aging, perteneciente al Ministerio de Salud Norteamericano (NIH), organizó en Abril del 2002 una conferencia internacional: "Mediciones del Campo de Energía Humano, estado de la ciencia", que giró entorno a la técnica GDV. En él aparece un protocolo para evaluar la exactitud de discriminación entre personas enfermas y sanas con el método GDV. El protocolo ha sido aprobado por el Interna Review Board del National Institutes of Health y los resultados del estudio han sido positivos. Esta aprobación es requerida en todos los protocolos clínicos de EEUU para la protección de los seres humanos.

Journal of Applied Physics

Es la revista científica de Física. En ella publicó Albert Einstein muchas de sus investigaciones. Los artículos en ella divulgados pasan rigurosos controles para asegurarse que se encuentran en la línea de una rigurosa metodología científica. El profesor Korotkov ha publicado un artículo sobre aplicaciones con la técnica GDV: Korotkov K., Korotkin D. Concentration dependence of gas discharge around drops of inorganic electrolytes. J of Applied Physics, 2001, V. 89. N 9, pp. 4732-4737

Med-Line

Es el banco de datos más completo existente en el mundo sobre medicina. Parte de él puede consultarse por Internet. En 2004 se publicó el artículo del prof. Korotkov: Mecanismos de Transferencia de Energía Biofísica en los Sistemas Vivos: Las Bases de los Procesos de la Vida. En él, a partir del "efecto cuántico de tunel" explica los mecanismos de transferencia de energía. "La noción de transferencia de energía característica de las ideas de la medicina de Oriente, ajenas a la mayoría de las personas con una educación europea, puede estar asociada con el transporte de electrones en estados excitados a través de los complejos moleculares de proteínas."

Ministerio Ruso de Deporte.

El Ministerio Ruso de Deporte ha firmado un convenio con los proveedores de la Tecnología GDV por el cual esta se aplica en todos los Centros de Entrenamiento Olímpico de Rusia.

Universidades e Instituciones.

Esta tecnología se utiliza en universidades e instituciones de los cinco continentes. En EEUU se investiga con ella en las Universidades de Nevada y Arizona y en la Clínica Mayo. Se han publicado más de 20 documentos científicos sobre investigaciones con dicha técnica en prestigiosas revistas científicas, y también existen varios libros sobre el tema. (En castellano: "Aura y Ciencia". Autor: Fernando Sánchez. Mandala Editores 2000).